

Ni-Sn

V 2305

1936

Korber F.

2. Stahl u. Eisen 56, 1401-11 (1936)

( $\text{Cu}_3\text{Sn}$ ;  $\text{Ni}_3\text{Sn}_3$ ;  $\text{CoSi}$ ;  $\text{Co}_2\text{Si}$ ;  $\text{CoSn}$ ;  $\text{FeSi}$ ;  $\text{FeSn}$ ;  
 $\text{AlCu}$ ;  $\text{AlCo}$ ;  $\text{AlFe}$ ;  $\text{AlFe}_3$ ) Kp; ( $\Delta H_f$ )

Circ. 500

W.

Est. f. k.

ECTB Q. H.

1937

VI-563

$\text{Ni}_5\text{Sb}_2$ ;  $\text{NiSb}$ ;  $\text{NiSn}$ ;

$\text{Ni}_3\text{Sn}$ ;  $\text{CoSb}$ ;  $\text{CoSb}_2$ ;  $\text{FeSb}_2$  ( $\Delta H_f$ )

Oelsen

1. Z.Elektrochem. 43, 532 (1937)

Circ. 500

21

F

1955

Gutierrez de Celis M.,

Alvarez Quiros A.

J. Acta salmant. Ser. ciencs., 1955,

T. N 3, 34 p

Bromoestannatos de los ...

Be

7835

VI 1300 $\text{H}_2/\text{SnBr}_6/.8\text{H}_2\text{O}$ ,  $\text{Mg}/\text{SnBr}_6/.6\text{H}_2\text{O}$ , $\text{Ca}/\text{SnBr}_6/.6\text{H}_2\text{O}$ ,  $\text{Sr}/\text{SnBr}_6/.6\text{H}_2\text{O}$ , $\text{Zn}/\text{SnBr}_6/.6\text{H}_2\text{O}$ ,  $\text{Cd}/\text{SnBr}_6/.6\text{H}_2\text{O}$ , $\text{Hg}/\text{SnBr}_6/.6\text{H}_2\text{O}$ ,  $\text{Mn}/\text{SnBr}_6/.6\text{H}_2\text{O}$ , $\text{Ni}/\text{SnBr}_6/.6\text{H}_2\text{O}$ ,  $\text{Co}/\text{SnBr}_6/.6\text{H}_2\text{O}$ , $\text{Cu}/\text{SnBr}_6/.6\text{H}_2\text{O}$ 

(Tm)

 $\text{NiSnBr}_6$

Ni(SnB2O) · 6H<sub>2</sub>O [BP-7885-IV] | 1960

(T<sub>m</sub>)

M. Gutierrez de Celis

J.A. Quiros

Acta salmanticensia t/ N3.

5-34

$Ni_{21}Sn_2B_6$

(BP-5017-VII)

1962

Tm

Stadelmaier H.H.,  
Gordon L.T.,

"Z. Metallkunde," 1962, 53, VII

719-721.

3158-VI

1964

VI ( $\text{CdSnO}_3$ ,  $\text{ZnSnO}_3$ ,  $\text{CuSnO}_3$ ,  $\text{NiSnO}_3$ ,  $\text{CoSnO}_3$ ,  $\text{MgSnO}_3$ ,  
 $\text{CaSnO}_3$ )

Dupuis T., Lorentelli V.

C.r. Acad. sci., 1964, 259, N 25, 4585-88  
Contribution à l'étude de quelques metastan-  
nates de metaux bivalents par spectrometric  
d'absorption infrarouge ( $2-150 \mu$ )

PJX, 1965, 24б133

J.

orig.  
Есть оригинал.

3503-VI

1966

VI ( $M/Sn(OH)_6$ )<sup>2-</sup> zge, M=Zn, Cd, Mg, Cu, Co, Ni, Na  
 $/Sn(OH)_6$ )<sup>2-</sup> (emphytique)

Lorenzelli V., Dupuis T., Lecomte J.

C.r. Acad. sci., 1964, 259, N 5, 1057-62

Determination de la structure des hexahydroxystannates à l'état cristallin par spectrométrie d'absorption infrarouge. (2-150μ)

PJF, 1965, 4D269

J.

2260-VI

1968

Ni<sub>3</sub>Sn (T<sub>22</sub>)

Джандареминов Н.Н., Капица Абдул Г.,  
Соколова И.Г., Багдасарьян А.К.

Вестн. Моск. ун-та хим., 1964, №1,  
45-50

О характере превращений в областях  
твердых растворов в системе Ni<sub>3</sub>Sn.

РХХ, 1965, 15 Б478

Есть оригинал  
Вс.

VI 1908

1964

Ni<sub>3</sub>Sn<sub>2</sub>, NiS<sub>8</sub> (Tm)

Данченко И.А., Чеберова О.П.

Ил. кеоргий. касиин, 1964, 9, с. 1,

226.

PX, 1964, 196367

Б.

Ni<sub>1,5</sub>-Sn

BGP-2386-VI

1965

Brand P; Breest Y

(Tm)

Z. anorg. allg. Chem.

1965, 337 n 3-4,

209-13.

19.67

VI-5629

Ni<sub>1,5</sub>Sn, Ni<sub>1,5</sub>In, Ni<sub>1,75</sub>Ge

(Kristal. strykt., Ttr)

Brand P.

Z.anorg. und allgem.Chem., 1967, 353, N5-6,  
270.

"Über Umwandlungen in Phasen vom  
an gefüllten NiAs-(Ni<sub>2</sub>In-) strukturtyp".

RX., 1968, 9/715 M1, 5

VI-IX  $\text{BaPb}_3$ ,  $\text{ThAl}_3$ ,  $\text{SnNi}_3$ ,  $\text{TiNi}_3$ ,  $\text{TiPd}_3$ , 1968  
a.f.c.  $\text{VCo}_3$ ,  $\text{TaCo}_3$ ,  $\text{ZrNi}_3$ ,  $\text{ACNi}_3$ . VI 5259

Vucht J. H. N. van:

J. Less-Common Metals, 1966, 11, N° 5, 308-322  
(cont.).

Influence of radius ratio on the structure of intermetallic compounds of the  $\text{AB}_3$  type.

Prax, 1967, 115 628.

(d)  $\text{CuB}_4$  10

Ni<sub>1,5</sub>Zn, Ni<sub>1,5</sub>Zn,  
Ni<sub>1,75</sub>Zn

V15371  
1967

Brand P.,  
Wiss Z. Martin-Luther-Univ.  
Halle-Wittenberg. Math- u.a  
bwiss Reihe:

1967, 16, Nr. 551-59

PK 225461(1968)

⑩ UBU 5

$Ni_{1.5}Sn$

B9- VI-5628

1968

Frequencies  
Chem.

108032e Atomic distances and bonding in the intermetallic phase,  $Ni_{1.5}Sn$ . P. Brand (Martin-Luther-Univ., Halle/S., Ger.). *Z. Anorg. Allg. Chem.* 358(3-4), 170-7(1968)(Ger). The theoretical treatment of the at. distances in the 2 modifications of  $Ni_{1.5}Sn$  considered in terms of the Pauling theory indicate the existence of covalent and metallic bonds in these phases. In the low-temp. form, single bonds exist between the excess Ni atoms and the nearest Sn neighbors. The corresponding at. distances in the high-temp. modification are explained by assuming a strong participation of double bonds. CJJG

C.A. 1968. 68-24

1970

 $Ni_3Sn$ разовое  
превраще-  
ние

9 E439. Рентгеновское изучение превращения в фазе  $Ni_3Sn$ . Bandyopadhyay J., Gupta K. P. X-ray study of the transformation in  $Ni_3Sn$  phase. «Met. Trans.», 1970, 1, № 1, 327—329 (англ.)

Рентгенографическим методом исследовано структурное превращение в  $Ni_3Sn$ . Образцы готовились сплавлением компонентов в вакууме с последующим отжигом при различных т-рах. При т-ре 600—700°С была получена гексаг. фаза с периодами  $a_0=5,29$  и  $c_0=4,24$  Å, которая при 800°С и выше переходит в фазу со структурой типа  $Mn_3Sn$ , являющуюся устойчивой и при более низких температурах.

А. С. Авилов

д. 1970

. 9%

Ni Sn

1971

(З Б889.) Термодинамика образования однофазного сплава NiSn. Clarke M., Dutta P. K.  
The heat of formation of the single-phase NiSn electrode-deposit. «J. Phys. D : Appl. Phys.», 1971, 4, № 10, 1652—1657  
(англ.)

В калориметре р-рения определены теплоты образования  $\Delta H$  (обр.) однофазных сплавов системы Ni—Sn

$\Delta H_f$

— X, 1972, 3

в области 47,5—60,3 ат.% Ni, полученных методом электроосаждения. Показано, что  $\Delta H$ (обр.) является линейной функцией состава, изменяясь с увеличением содержания Ni от  $\sim -30,5$  до  $\sim -26,2$  кдж/г-ат. Парц. молярные энталпии Ni и Sn постоянны внутри области гомогенности и равны соотв.  $-11,6$  и  $-47,4$  кдж/г-ат. Также постоянно и изменение объема при образовании этих сплавов, равное  $-1,3 \pm 0,1$  см<sup>3</sup>/г-ат при 298° К. Фаза NiSn отсутствует на диаграмме состояния и медленно разлагается выше 575° К. Возможно, что она действительно стабильна при ее обычной т-ре получения (340° К).

Л. Гузей

NiSnCl6.6H2O

ЗР-XVI-1060 1972

9 Б648. Низкотемпературные магнитные и тепловые свойства NiSnCl6.6H2O. Myers B. E., Polgar L. G., Friedberg S. A. Low-temperature magnetic and thermal properties of NiSnCl6.6H2O. «Phys. Rev. B: Solid State», 1972, 6, № 9, 3488—3497 (англ.)

С целью изучения основного состояния иона  $\text{Ni}^{++}$  в NiSnCl6.6H2O и возможного взаимодействия между ионами никеля проведены: а) измерения магнитной восприимчивости в поликрист. и монокрист. образцах в т-рной области 0,35—4,2°К; б) измерения изотермич. намагниченности в интервале т-р 1,35—4,2°К в полях более 40 Кэр. ( $H \parallel z$ ); в) измерения теплоемкости по-

Ср

X. 1973. № 9



ликрист. и монокрист. образцов при т-рах 0,35—4,2° К. Были выполнены также магнетокалорич. исследования монокрист. образцов при  $T \sim 0,5$ ° К. Показано, что основное состояние иона может быть описано спин-гамильтонианом вида  $\chi = DS_z^2 + g\mu_B S\bar{H}$  со значениями параметров  $D/k = +0,64$ ° К,  $g = 2,25$ . Триплет основного состояния расщеплен на нижний синглет и верхний дублет. Получено доказательство существования антиферромагнитного взаимодействия между ионами  $Ni^{++}$ , к-рое, однако, мало по сравнению с расщеплением в нулевом поле. Исследованная система проявляет необычные св-ва при  $T < D/k$ . Магнетокалорич. исследованиями при  $H \parallel$  тригон. оси обнаружено охлаждение образца при адиабатич. намагничивании для  $H \ll \ll D/g\mu_B$ . На основании полученных данных сделано предположение, что при достаточно низких т-рах для  $H \sim D/g\mu_B$  имеет место спиновое упорядочение. Однако для подтверждения существования упорядоченной фазы, по мнению авторов, необходимы дополнительные исследования при т-рах ниже 0,5° К. Л. Н. Романенко

$Ni_3Sn_2$

1972

Predel B., Ruge H.

Thermochim. acta, 1972, 3,  
N 5, 411-418.

(sHf)

(Cu.  $Cu_2In$ )

• (Cu.  $Ni_2$  etc); )

# Ni-Sn (enrich)

1973

$\Delta G$ ;  $\Delta S$

152261j Thermodynamic properties of nickel-tin system liquid alloys. Eremenko, V. N.; Lukashenko, G. M.; Prigula, V. L. (Inst. Probl. Materialoved., Kiev, USSR). Ukr. Khim. Zh. (Russ. Ed.) 1973, 39(3), 227-30 (Russ). Based on the rate of evapn. of Sn from Sn-Ni mixts. at 1300 and 1350°, the activities and partial molar free energies and entropies of the 2 metals in liq. mixts. were calcd. This system shows marked deviations from the ideal. The entropy of mixing is less than the ideal value. There are min. in the curves for excess entropy and free energy at the compn. corresponding to  $\text{Ni}_3\text{Sn}_2$ .

John Howe Scott

C.A. 1973.78 N24

NiSnCl<sub>6</sub> · 6H<sub>2</sub>O | ВФ-XVI 2045 |

1973

23 Б746. Эффекты синглетного основного состояния в NiSnCl<sub>6</sub> · 6H<sub>2</sub>O и подобных соединениях. Meier D., Кагнезос M., Friedberg S. A. Singlet ground state effects in NiSnCl<sub>6</sub> · 6H<sub>2</sub>O and related compounds. Abstr. «Magnetism and Magnet. Mater.—1973. 19th AIP Ann. Conf., Boston, Mass., 1973. Part 2». New York, 1974, 1316 (англ.)

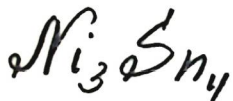
(C<sub>p</sub>)

Измерена теплоемкость C<sub>p</sub> монокристалла NiSnCl<sub>6</sub> · 6H<sub>2</sub>O в интервале от 0,04 до 1°К. При отсутствии внешнего поля происходит расщепление основного состояния иона Ni<sup>2+</sup> на синглет и дублет, величина расщепления Δ=0,64 к. При 0,2°К наблюдалась аномалия типа Шоттки. В области T<0,04°К отмечено быстрое возрастание C<sub>p</sub>. Предполагается, что эта вторая аномалия C<sub>p</sub> отражает область дальнего порядка спинов Ni<sup>2+</sup>.

Л. Резницкий

x.1974. N 23

1974.



Danneohl H.D.;  
Lukas H.L.,

Z. Metallkd., 1974,

( $\Delta H_f$ )

65 (10), 642-9.

• (act.  $UAl_2$ ; -)

# Ni<sub>2</sub>SnCl<sub>6</sub> · 6H<sub>2</sub>O

1975

171774y Magnetic interactions in nickel tin hexachloride hexahydrate and related salts. Friedberg, S. A.; Karnezos, M.; Meier, D. (Dep. Phys., Carnegie-Mellon Univ., Pittsburgh, Pa.). U. S. NTIS, AD-A Rep. 1975, No. 010880, 7 pp. (Eng). Avail. NTIS. From Gov. Rep. Announce. Index (U. S.) 1975, 75(16), 53. Heat capacities and low field magnetic susceptibilities of single crystal NiSnCl<sub>6</sub>·6H<sub>2</sub>O and 6 other isostructural Ni(2+) compds. were measured down to 0.05°K. In NiSnCl<sub>6</sub>·6H<sub>2</sub>O, NiPdCl<sub>6</sub>·6H<sub>2</sub>O, NiPtCl<sub>6</sub>·6H<sub>2</sub>O, NiPtBr<sub>6</sub>·6H<sub>2</sub>O and NiPtCl<sub>6</sub>·6H<sub>2</sub>O the S = 1 ground state of the (Ni(H<sub>2</sub>O)<sub>6</sub>)<sup>(+2)</sup> complex is split into a lower singlet and an upper doublet. Spin coupling in these compds. is subcrit. and of antiferromagnetic sign. In NiTiF<sub>6</sub>·6H<sub>2</sub>O and NiZrF<sub>6</sub>·6H<sub>2</sub>O the zero field splitting leaves the doublet lowest, interactions are ferromagnetic, and ferromagnetic ordering occurs below T<sub>c</sub> = 0.17°K.

Cp, Tcurie -

C.A. 1975, 83 n20

(+4)

12

Ni<sub>3</sub>SnCl<sub>6</sub> · 6H<sub>2</sub>O

1976

( $C_p / H = 0$ )

Meier D. L.

5TT, N19, 127

(Ульяновск)



1944

$Ni_3Sn$ ,  
 $Ni_3Sn_2$   
 $Ni_3Sn_4$  } (Tb.)

Bauer T., et al

O. II; p 486 - 487

288-900  
298-1537  
298-1000

(See Ag-I)

*NiSnCl<sub>6</sub> · 6H<sub>2</sub>O*

1978

88: 202068f Magnetic and structural phase transitions in nickel hexafluorotitanate(IV) hexahydrate. Karnezos, M.; Friedberg, S. A. (Carnegie-Mellon Univ., Pittsburgh, Pa.). *J. Appl. Phys.* 1978, 49(3, Pt. 2), 1380-2 (Eng). At 300 K, NiTiF<sub>6</sub>.6H<sub>2</sub>O crystallizes in the trigonal NiSnCl<sub>6</sub>.6H<sub>2</sub>O structure with one axially distorted [Ni(H<sub>2</sub>O)<sub>6</sub>]<sup>2+</sup> complex per unit cell. This structure is retained on rapid cooling, therefore the susceptibilities  $\chi_{\parallel}$ ,  $\chi_{\perp}$ , and the heat capacity  $C_p$  between ~0.05 and 4.2 K can be measured in the <sup>3</sup>He - <sup>4</sup>He diln. refrigerator.  $\chi_{\parallel}$  And  $\chi_{\perp}$  are those of a uniaxial ferrimagnet with  $T_c \approx 0.14$  K and the easy direction along the trigonal axis. These data, as well as  $C_p$  with  $H_{\parallel} = 300$  and 1500 Oe are well described by an Oguchi model in which pairs of exchange-coupled spins are treated exactly and interactions among pairs are replaced by a mean field.  $C_p$  For NiTiF<sub>6</sub>.6H<sub>2</sub>O was also measured under equil. conditions between 1.7 and 270 K. A 1st order structural phase transition was obsd. at 136.5 K with a latent heat of ~662 cal/mol.

$C_p$ ;  $T_c$

C.A. 1978, 88, N26

*NiSnF<sub>6</sub> · 6H<sub>2</sub>O*

1978

(Tc)

90: 65699n Ferromagnetism in nickel hexafluorostannate(IV) hexahydrate ( $\text{NiSnF}_6 \cdot 6\text{H}_2\text{O}$ ) and nickel hexafluorosilicate hexahydrate ( $\text{NiSiF}_6 \cdot 6\text{H}_2\text{O}$ ). Karnezis, M.; Friedberg, S. A. (Carnegie Mellon Univ., Pittsburgh, Pa.). *J. Phys., Colloq. (Orsay, Fr.)* 1978, (6, Vol. 2), 814-15 (Eng). Measurements of susceptibilities  $\chi_{\parallel}$ ,  $\chi_{\perp}$  and  $C_p$  down to  $\sim 0.05$  K in a  $^3\text{He}$ - $^4\text{He}$  diln. refrigerator are used to study ferromagnetic ordering in single crystal  $\text{NiSnF}_6 \cdot 6\text{H}_2\text{O}$  ( $T_c = 0.164 \pm 0.004$  K) and  $\text{NiSiF}_6 \cdot 6\text{H}_2\text{O}$  ( $T_c = 0.135 \pm 0.0002$  K).

CA. 1979, 20, 18

Ni<sub>3</sub>In<sub>x</sub> [Dommick 15393] 1979

Preodel B., Vogelfein W.,  
 $\Delta H_f$ ; Thermochim Acta,  
1979, 30, 201-215.

$Ni_3Sn$

Unniuck 15242

1982

$Ni_{14}Sn$

Pastorek A., Kicter P.,  
et al.,

$\Delta H_f^\circ$

Z. Less-Common Metals,  
1982, 86, N2, 181-186.

$Ni_3 Sn Te_5$

1984

101: 117668u Nature of the interaction of tin telluride (SnTe) with nickel telluride ( $Ni_3Te_4$ ). Movsum-Zade, S. A.; Allazov, M. R.; Movsum-Zade, A. A.; Guseinova, E. S. (USSR). *Zh. Neorg. Khim.* 1984, 29(8), 2090-3 (Russ). The SnTe- $Ni_3Te_4$  section of the Ni-Sm-Te system was studied by DTA, microhardness, microstructural, and x-ray phase anal. methods. This section is quasi-binary. The compd.  $Ni_3SnTe_5$  and  $Ni_9SnTe_{13}$  incongruently m. 963, 1123 K, resp. Solid solns. based on SnTe extend to 3 mol %  $Ni_3Te_4$ .

(Tm)

C.A. 1984, 101, N 14

*Ni<sub>2</sub>SnP*

1985

21 Б2052. Ni<sub>2</sub>SnP — новое соединение, полученное из расплава олова. Ni<sub>2</sub>SnP — a new compound made in tin flux. Fjellvåg H., Furuseth S. «VIII. Int. Conf. Solid Compounds Transit. Elec., Vienna, Apr. 9—13, 1985. Extended Abstr.» Vienna, 1985, P4A8/1—P4A8/3 (англ.)

Проведен РСТА Ni<sub>2</sub>SnP (1, МНК до Р 0,030), полученного из Sn-расплава, содержащего стехиометрич. кол-ва Ni и P. I ромбич.:  $a = 12,826$ ,  $b = 3,594$ ,  $c = 5,089$  Å, ф. гр. *Pnma*, Z 4. На основании данных РСТА предполагается, что преимущественный рост I в направлении оси  $c$  связан с наличием вдоль этого направления цепочек сильной связи Ni—Ni ( $\approx 2,8$  Å). Двумерные Ni-блоки связаны в I крупными атомами Sn. Проведено сравнение СТ I, NiP и MnP.

Г. Д. Илюшин

X. 1986, 19, N 2/

*Ni<sub>2</sub>SnP*

1985

№ 9 Б2028. Кристаллическая структура и свойства Ni<sub>2</sub>SnP. Crystal structure and properties of Ni<sub>2</sub>SnP. Furuseth S., Fjellvåg H. «Acta Chem. Scand.», 1985, A39, № 8, 537—544 (англ.)

Проведен РСТА ( $R = 0,030$ , 403 отражений), ДТА и ТГА Ni<sub>2</sub>SnP и исследованы его эл. и магн. свойства. Кристаллы ромбич.,  $a = 1282,60$ ,  $b = 359,43$ ,  $c = 508,96$  пм,  $\rho$  (выч.) 7,559,  $Z = 4$ , ф. гр.  $Pnma$ . Атомы Ni в структуре находятся в искаженной октаэдрич. координации из атомов Sn и P (Ni—Sn 256,6—300,9, Ni—P 222,3—231,9 пм); октаэдры вокруг Ni соединяются гранями (Ni—Ni 250,9—280,1 пм) в цепи, параллельные оси  $c$  и связанные ребрами октаэдров в 3-мерный каркас. Атомы Sn и P окружены 6 атомами Ni, образующими григон. призмы (сильно искаженные в случае Sn). Структура рассмотрена как производная от СТ NiAs и MnP. Наличие октаэдрич. цепей обусловливает игольчатый габитус кристаллов. Кристаллы парамагнитны и характеризуются металлич. проводимостью ( $\rho = 7,7 \times 10^{-5}$  Ом·см); при нагревании при т-ре 1005 К они разлагаются на Ni<sub>2</sub>P и Sn.

С. В. Соболева

*Кристал-  
структур*

X. 1986, 19, № 9

Ni - Sn

1985

106: 202649m The Ni-Sn (nickel-tin) system. Nash, P.; Nash, A. (Metall. Mater. Eng. Dep., Illinois Inst. Technol., Chicago, IL 60616 USA). *Bull. Alloy Phase Diagrams*, 1985, 6(4), 350-9, 395-6. (Eng). The Ni-Sn phase diagram was critically assessed. Crystal structure and lattice parameter data are given for the solid phases. The thermodn. of alloying data are given.

passail  
gecaparima

c.a. 1987, 106, N24

$Ni_6SnTe_5$

1986

$Ni_3Sn_3Te_5$

104: 175382u Reaction of tin monotelluride with nickel telluride ( $Ni_3Te_2$ ) and the properties of their solid solutions. Movsum-Zade, S. A.; Allazov, M. R.; Guseinova, E. S.; Movsum-Zade, A. A. (Spets. Konstr.-Tekhnol. Byuro Kompleksn. Pererab. Miner. Syrya-Baku, USSR). *Izv. Akad. Nauk SSSR, Neorg. Mater.* 1986, 22(3), 415-17 (Russ). The SnTe-Ni<sub>3</sub>Te<sub>2</sub> section of the Ni-Sn-Te system was studied by DTA, microstructural, microhardness, and x-ray phase anal. methods. The ternary compds. Ni<sub>6</sub>SnTe<sub>5</sub> and Ni<sub>3</sub>SnTe<sub>5</sub> incongruently m. 1140 and 1000 K, resp. Solid solns. based on SnTe extend to 4 mol %, Ni<sub>3</sub>Te<sub>2</sub> and solid solns. based on Ni<sub>3</sub>Te<sub>2</sub>, to 2 mol % SnTe at room temp. A eutectic occurs at 870 K and 14 mol % Ni<sub>3</sub>Te<sub>2</sub>. Solid solns. contg. 1 and 3 mol % Ni<sub>3</sub>Te<sub>2</sub> were characterized by dtg., their thermoemf. and elec. cond. as functions of temp.

( $T_m$ )

C.A. 1986, 104, N20

Лицензия №и. 30842

1988

Ni-In

Kovatchev P.D., Ton-  
cheva S.A.,

патент.

изобр.

Докт. дисс. АИ, 1988,  
41, №9, 85-88.

Ni-Sn (al)

chelab

1988

109: 62203w Calorimetric determination of the enthalpy of mixing of liquid nickel-tin alloys as a function of temperature. Lueck, Reinhard; Tomiska, Josef; Predel, Bruno (Inst. Werkstoffwiss., Max-Planck-Inst. Metallforsch., D-7000 Stuttgart, 1 Fed. Rep. Ger.). Z. Metallkd. 1988, 79(5), 345-9 (Ger). The enthalpies of mixing of liq. Ni-Sn alloys (0-50 at.% Sn) were detd. at 3 different temps. in the range 1660-1775 K. The excess molar heat was evaluated from the temp. dependence of  $\Delta H$ . For this procedure, the known  $\Delta H$  data were fitted according to the least squares method by power series suitable for thermodn. functions. The results confirm the existence of the chem. short-range order of the type  $\text{Ni}_3\text{Sn}_2$  and show the addnl. existence of chem. short-range order of the type  $\text{Ni}_3\text{Sn}$ . Both types of short range order correspond in their compn. to congruently melting intermetallic compds. in the solid state.

( $\Delta_{\text{mix}}H$ )



c.A.1988, 109, N 8

$Ni_3Sn$

1989

112: 12542x Computer-aided plotting of the liquidus surface of the iron-nickel-tin phase diagram. Kovachev, P.; Toncheva, S. (Inst. Met. Sci. Technol., Bulg.). *Tekh. Misul* 1989, 26(2), 119-23 (Bulg). Equations are derived for the Gibbs free energies of the Fe-Ni-Sn-phases: melt, fcc., bcc.,  $Ni_3Sn$ , and  $Ni_2Sn_2$ . The liquidus surface was calcd. based on these equations. Metallogr. anal. data are used for detg. the equil. melt-fcc.- $Ni_3Sn_2$  due to the divergence of the numerical results.

(AB)

C.A. 1990, 112, N 2

*SnNiSeTe*

*1990*

11 Б3043 ДЕП. Термодинамические свойства соединений SnNiSeTe, SnFeSeTe, SnCoSeTe / Гуршумов А. П., Мургузов М. И., Гулиев М. М., Аббасов А. С., Ализаде М. З.; Ин-т неорган. и физ. химии АН АзССР.— Баку, 1990.— 11 с.: ил.— Библиогр.: 3 назв.— Рус.— Деп. в ВИНИТИ 31.01.90, № 597-В90

Методом э. д. с. в интервале т-р 320—450 К изучены термодинамич. св-ва SnNiSeTe (**I**), SnFeSeTe (**II**) и SnCoSeTe (**III**). На основании полученных и справочных данных рассчитаны  $-\Delta_f H_{298}$ ,  $-\Delta_f S_{298}$ ,  $S^0_{298}$ ,  $\Delta_{at}H_{298}$  и  $\Delta_{at}S_{298}$ , равные соотв. для I  $95,97 \pm 10,84$  кДж/моль;  $22,07 \pm 5,09$  Дж/моль·К,  $150,23 \pm 5,09$  Дж/моль·К; 92,6 кДж/г-ат и 44,6 Дж/г-ат·К; II  $97,52 \pm 11,48$ ;  $11,87 \pm 2,0$ ;  $160,51 \pm 2,00$ ; 92,72 и 41,92; III  $99,44 \pm 12,1$ ;  $1,25 \pm 0,42$ ;  $166,95 \pm 0,42$ ; 92,78 и 39,32. А. Л. М.

*ΔH<sub>f</sub>, J*

(12) 18

*X. 1990, N 11*

*SnNiSe<sub>2</sub>*

1990

5 Б3042 ДЕП. Исследование термодинамических свойств соединений  $\text{SnNiSe}_2$  / Гуршумов А. П., Мургузов М. И., Сафаров Д. М., Наджафова З. З., Аббасов А. С., Ализаде М. З.; Ин-т неорган. и физ. химии АН АзССР.— Баку, 1990.— 7 с.: ил.— Библиогр.: 4 назв.— Рус. Деп. в ВИНИТИ 27.11.90, № 5919— В90

Методом э. д. с. исследованы термодинамич. ф-ции образования  $\text{SnNiSe}_2$  (I) в интервале т-р 320—450 К. Получены станд. значения термодинамич. ф-ций образования I из элементов в тв. состоянии,  $\Delta_f G_{298}^0 = -120,51 \pm 1,96$  кДж/моль,  $\Delta_f S_{298}^0 = -34,44 \pm 5,14$  Дж/моль·К. Рассчитаны также термодинамич. ф-ции атомизации I  $\Delta_{at} H = 103,5$  кДж/г-ат,  $\Delta_{at} S = 47,3$  Дж/г-ат·К.

А. Л. М.

( $\Delta H_f$ ,  $\Delta f$ )

X. 1991, N<sup>5</sup>

$Ni_3Sn_4$

1992

Frederikse H.P.R., Fields R.J.,  
et al.,

Magnes.  
C6-Sn,  
Gp  
J. Appl. Phys. 1992, 72(7),  
2879-82.

(all.  $Li_6Sn_5$  ; I)

F: NiSnF<sub>6</sub>\*6H<sub>2</sub>O

P: 1

1995

11Б264. Кристаллические структуры и колебательные спектры MSnF[6]\*6H<sub>2</sub>O (M=Fe, Co, Ni). Crystal structures and vibrational spectra of MSnF[6]\*6H<sub>2</sub>O (M=Fe, Co, Ni) / Mikenda W., Pertlik F., Steinbock S. // Monatsh. Chem. - 1995. - 126, N 1. - С. 61-66. - Англ.; рез. нем.

Представлены результаты РСТА (300К) и колебательной спектроскопии для гексагидратов фторостанинатов FeSnF<sub>6</sub>\*6H<sub>2</sub>O (I), CoSnF<sub>6</sub>\*6H<sub>2</sub>O (II) и NiSnF<sub>6</sub>\*6H<sub>2</sub>O (III). Кристаллические структуры II и III ромбодрические, ф. гр. R3-C{2}[3][i]; а 9,735 и 9,697, с 10,095 и 10,021 Å; Z 3; R 0,047 и 0,038 для 1152 и 1138 независимых отражений, соответственно. Соединения II и III изотипны с I. ИК- и рамановские спектры, снятые при 300 и 75К на частично дейтерированных образцах I-III, содержат 2 близкие частоты валентных колебаний 'ню'(OD) и 1 деформационное колебание 'дельта'(HOD), которые согласуются с одним кристаллографическим типом молекулы воды, образующей 2 различные, но достаточно похожие H-связи O...F.. Кристаллическая структура.

X. 1996, N 11

1997

$Ni_3Sn$

$Ni_3Sn_2$

(Tm)

127: 311846c Chemical vapor transport of intermetallic systems.  
Part 5. Chemical transport of  $Ni_3Sn$  and  $Ni_3Sn_2$ . Gerighausen, S.;  
Wartchow, R.; Binnewies, M. (Institut Anorganische Chemie, Universi-  
tat Hannover, D-30167 Hannover, Germany). *Z. Anorg. Allg. Chem.*  
1997, 623(9), 1361–1366 (Ger), Barth. The congruent melting interme-  
tallic compds.  $Ni_3Sn$  and  $Ni_3Sn_2$  can be prep'd. by CVT-methods using  
 $I_2$  as transport agent. Thermodn. calcns. allow to understand why  $Ni_3-$   
 $Sn$  and  $Ni_3Sn_2$  but not  $Ni_3Sn_4$  can be prep'd. by this manner. Some  
general rules concerning CVT of intermetallics are given.

C.A. 1997, 127, N 22

Ni-Sn

1997

24Б3111. Химический транспорт интерметаллических фаз. 5. Химический транспорт  $\text{Ni}_3\text{Sn}$  и  $\text{Ni}_3\text{Sn}_2$ . Chemischer Transport intermetallischer Phasen. 5. Der chemische Transport von  $\text{Ni}_3\text{Sn}$  und  $\text{Ni}_3\text{Sn}_2$  / Gerighausen S., Wartchow R., Binnewies M. // Z. anorg. und allg. Chem.— 1997.— 623, № 9.— С. 1361–1366.— Нем.; рез. англ. Место хранения ГПНТБ России

(ChP)

Конгруэнтно плавящиеся интерметаллич. соединения  $\text{Ni}_3\text{Sn}$  и  $\text{Ni}_3\text{Sn}_2$  были получены с помощью хим. транспортных р-ций с использованием иода в кач-ве газоснителя при перепаде т-р.  $900 \rightarrow 700^\circ\text{C}$ . Результаты термодинамич. расчетов позволили объяснить, почему именно  $\text{Ni}_3\text{Sn}$  и  $\text{Ni}_3\text{Sn}_2$ , а не  $\text{Ni}_3\text{Sn}_4$  могли быть приготовлены подобным способом. На примере системы Ni—Sn рассмотрены общие принципы хим. транспортных р-ций интерметаллич. фаз.

В. Ф. Байбуз

Х. 1997, N 24

$Ni_{3.14}Sn_4$

(OM 40321)

2010

$Ni_{3.50}Sn_4$

Alexandra Neemann  
et al.,

154

$\gamma$ - $\alpha$  Alloys and  
Compounds 2000, 307,  
167-173